

فهرست مطالب

عنوان	صفحه
فصل اول	۱
کلیات	۱
۱-۱- هدف و ضرورت انجام پژوهش	۲
۱-۲- مراحل انجام پژوهش	۴
فصل دوم	۵
آشنایی با معدن مس میدوک	۵
۲-۱- مقدمه	۷
۲-۲- موقعیت جغرافیایی کانسار مس میدوک	۹
۲-۳- زمین شناسی کانسار مس پورفیری میدوک	۱۱
۲-۴- محدوده دربرگیرنده کانسار میدوک	۱۱
۲-۵- کانی شناسی ماده معدنی	۱۲
۲-۶- محدوده کانه سازی شده	۱۴
۲-۷- مناطق مختلف کانه سازی کانسار	۱۴
۲-۷-۱- زون شسته شده	۱۵
۲-۷-۲- زون هوازده و اکسیدی	۱۶
۲-۷-۳- زون سوپرژن	۱۶
۲-۷-۴- زون هیپوژن	۱۷
۲-۸- عیارحد و میزان ذخیره مس به تفکیک زونها	۱۸
اکسید	۱۸
سوپرژن	۱۸
هاپوژن	۱۸

۱۹.....	۹-۲- معدن مس میدوک و کانی سازی برای سایر عناصر.
۲۱.....	فصل سوم.....
۲۱.....	مقدمه‌ای بر زمین آمار.....
۲۲.....	۱-۳- مقدمه.
۲۴.....	۲-۳- واریوگرام.....
۲۶.....	۱-۲-۳- ترسیم واریوگرام.....
۲۷.....	۲-۲-۳- شعاع تاثیر یا دامنه.....
۲۸.....	۳-۲-۳- سقف واریوگرام.....
۲۹.....	۴-۲-۳- اثر قطعه‌ای.....
۲۹.....	۵-۲-۳- ناهمسانگردی.....
۳۰.....	۶-۲-۳- مدل‌های تئوری واریوگرام.....
۳۰.....	۱- مدل‌های سقفدار.....
۳۱.....	ب) مدل کروی:.....
۳۲.....	ج) مدل نمایی:.....
۳۳.....	د) مدل گوسی:.....
۳۳.....	۲- مدل‌های بدون سقف.....
۳۳.....	الف) مدل خطی:.....
۳۴.....	ب) مدل دویسین:.....
۳۴.....	ج) مدل سهمی گونه:.....
۳۵.....	د) مدل اثر سوراخ یا سینوسی:.....
۳۶.....	۳-۳- تکنیکهای تخمین زمین آماری.....
۳۶.....	۱-۳-۳- روش کریجینگ.....
۳۶.....	۱-۳-۳-۱- معادلات کریجینگ.....
۳۸.....	۱-۳-۳-۲- ویژگی‌ها و کاربردهای کریجینگ.....

۷۷.....	۵-۳-۵- تحلیل روند
۷۷.....	۵-۳-۵- ۱- تحلیل روند در زون اکسیده
۷۸.....	۵-۳-۵- ۲- تحلیل روند در زون سوپرژن
۸۰.....	۵-۳-۵- ۳- تحلیل روند در زون هیپوژن
۸۲.....	۵-۴-۳-۵- ۴- تحلیل روند در داده‌های چال‌های استخراجی مس
۸۳.....	۴-۵- واریوگرافی و تحلیل‌های ناهمسانگردی در سه زون اکسیده، سوپرژن و هیپوژن
۸۴.....	۴-۵- ۱- اعتبار سنجی واریو گرام
۸۵.....	۴-۵- ۲- تحلیل ناهمسانگردی
۸۶.....	۴-۴-۳- واریوگرافی عنصر مس در زون اکسیده
۸۶.....	۴-۴-۳- ۱- رسم واریوگرام
۸۸.....	۴-۴-۳- ۲- اعتبار سنجی واریوگرام
۸۹.....	۴-۴-۳- ۳- تحلیل ناهمسانگردی
۹۲.....	۴-۴-۴- واریوگرافی عنصر مس در زون سوپرژن
۹۲.....	۴-۴-۴- ۱- رسم واریوگرام
۹۴.....	۴-۴-۴- ۲- اعتبار سنجی واریو گرام
۹۴.....	۴-۴-۴- ۳- تحلیل ناهمسانگردی
۹۵.....	۴-۴-۴- ۵- واریوگرافی عنصر مس در زون هیپوژن
۹۵.....	۴-۴-۴- ۱- رسم واریوگرام
۹۶.....	۴-۴-۴- ۲- اعتبار سنجی واریوگرام
۹۷.....	۴-۴-۴- ۳- تحلیل ناهمسانگردی
۱۰۰.....	۴-۴-۶- واریوگرافی داده‌های چال‌های استخراجی مس
۱۰۰.....	۴-۶-۴- ۱- رسم واریوگرام
۱۰۲.....	۴-۶-۶- ۲- اعتبار سنجی واریوگرام
۱۰۳.....	۴-۶-۶- ۳- تحلیل ناهمسانگردی

۱۰۵	فصل ششم
۱۰۵	ارزیابی ذخیره
۱۰۶	۱-۱- مقدمه
۱۰۷	۶-۲- انواع روش‌های تخمین ذخیره
۱۰۸	۶-۲-۱- روش‌های کلاسیک
۱۰۹	۶-۲-۲- روش‌های زمین آماری
۱۱۱	۶-۳- تخمین ذخیره به روش زمین آمار
۱۱۱	۶-۳-۱- تعیین فضای تخمین
۱۱۲	۶-۳-۱-۱- زون اکسیده
۱۱۳	۶-۳-۱-۲- زون سوپرژن و هیپوژن
۱۱۴	۶-۴- تهییه مدل بلوکی کانسار مس میدوک
۱۱۷	۶-۵- تخمین ذخیره
۱۱۷	۶-۵-۱- تخمین به روش کریجینگ
۱۱۸	۶-۵-۱-۱- حجم جستجو
۱۱۹	۶-۵-۱-۲- پارامترهای تخمین و مدل واریوگرام
۱۲۰	۶-۵-۲- تخمین ذخیره در زون اکسیده
۱۲۱	۶-۵-۲-۱- کلاسه بندی ذخیره زون اکسیده
۱۲۱	۶-۵-۲-۱-۱- نوع ذخیره
۱۲۱	۶-۵-۲-۱-۲- کلاسه بندی عیاری ذخیره قطعی
۱۲۲	۶-۵-۲-۱-۳- کلاسه بندی ذخیره بر مبنای واریانس تخمین در زون اکسیده
۱۲۳	۶-۵-۲-۲- منحنی عیار متوسط بلوک‌های کانسنگ نسبت به ارتفاع
۱۲۵	۶-۵-۲-۳- منحنی تناظر عیار
۱۲۶	۶-۵-۳- تخمین ذخیره در زون سوپرژن
۱۲۶	۶-۵-۳-۱- کلاسه بندی ذخیره زون سوپرژن

۱۲۶.....	نوع ذخیره.....	۱-۳-۵-۶
۱۲۷.....	کلاسه بندی عیاری ذخیره قطعی.....	۲-۱-۳-۵-۶
۱۲۸.....	کلاسه بندی بر مبنای واریانس تخمین در زون سوپرژن.....	۳-۱-۳-۵-۶
۱۳۰	منحنی عیار متوسط بلوک‌های کانسنگ در پله‌ها.....	۲-۳-۵-۶
۱۳۱.....	منحنی تناژ عیار.....	۳-۳-۵-۶
۱۳۲.....	تخمین ذخیره در زون هیپوژن.....	۴-۵-۶
۱۳۲.....	کلاسه بندی ذخیره زون هیپوژن.....	۴-۵-۶
۱۳۲.....	نوع ذخیره.....	۱-۴-۵-۶
۱۳۳.....	کلاسه بندی عیاری ذخیره قطعی.....	۲-۱-۴-۵-۶
۱۳۴.....	کلاسه بندی بر مبنای واریانس تخمین در زون هیپوژن.....	۳-۱-۴-۵-۶
۱۳۶.....	منحنی عیار متوسط بلوک‌های کانسنگ در پله‌ها.....	۲-۴-۵-۶
۱۳۸.....	تخمین ذخیره در افق ۲۶۰۰ با استفاده از داده‌های چاله‌ای استخراجی.....	۵-۵-۶
۱۴۳.....	فصل هفتم.....	
۱۴۳.....	نتیجه گیری و پیشنهادات.....	
۱۴۴.....	جمع بندی و نتیجه گیری.....	
۱۴۶.....	پیشنهادات.....	
۱۴۷.....	فهرست منابع.....	

فهرست اشکال

عنوان	صفحه
شکل ۴-۱- نمایی سه بعدی از گمانه‌های کانسار مس میدوک	۴۷
شکل ۴-۲- نقشه محل حفر گمانه‌ها	۴۸
شکل ۴-۳- مقاطع شمالی جنوبی در کانسار مس میدوک	۴۹
شکل ۴-۴- مقاطع شرقی - غربی در کانسار مس میدوک	۴۹
شکل ۴-۵- مقطع شمالی جنوبی (۳۹۰۰) به تفکیک زون	۵۱
شکل ۴-۶- مقطع شمالی جنوبی (۴۰۰۰) به تفکیک زون	۵۱
شکل ۴-۷- مقطع شرقی - غربی (۷۰۵۰)	۵۲
شکل ۴-۸- استرینگ‌های هرزون به تفکیک زون اکسیده، سوپرژن و هیپوژن	۵۳
شکل ۴-۹- ماکت ذخیره کانسار مس میدوک	۵۳
شکل ۵-۱- نمایی از گمانه‌های کامپوزیت شده	۵۸
شکل ۵-۲- هیستوگرام داده‌های خام مس در زون اکسیده	۶۰
شکل ۵-۳- هیستوگرام داده‌های خام مس در زون سوپرژن	۶۰
شکل ۵-۴- هیستوگرام فراوانی مس در زون هیپوژن	۶۱
شکل ۵-۵- هیستوگرام کامپوزیت‌های مس زون اکسیده	۶۳
شکل ۵-۶- نمودار احتمال داده‌های مس زون اکسیده	۶۳
شکل ۵-۷- هیستوگرام کامپوزیت‌های مس زون سوپرژن	۶۴
شکل ۵-۸- نمودار احتمال داده‌های مس زون سوپرژن	۶۴
شکل ۵-۹- هیستوگرام کامپوزیت‌های مس زون هیپوژن	۶۵
شکل ۵-۱۰- نمودار احتمال داده‌های مس زون هیپوژن	۶۶

..... شکل ۵-۱۱-هیستوگرام داده‌های لاغ نرمال مس زون اکسیده.....	۶۹
..... جدول ۵-۷-پارامترهای آماری داده‌های لاغ نرمال مس زون اکسیده.....	۶۹
..... شکل ۵-۱۲-نمودار احتمال داده‌های لاغ نرمال مس زون اکسیده.....	۶۹
..... شکل ۵-۱۳-هیستوگرام داده‌های لاغ نرمال مس زون سوپرژن.....	۷۰
..... شکل ۵-۱۴-نمودار احتمال داده‌های لاغ نرمال مس زون سوپرژن.....	۷۰
..... شکل ۵-۱۵-هیستوگرام داده‌های لاغ نرمال مس زون هیپوژن..... Error! Bookmark not defined.
..... شکل ۵-۱۶-نمودار احتمال داده‌های لاغ نرمال مس زون هیپوژن..... Error! Bookmark not defined.
..... شکل ۵-۱۷-نمودار باکس پلات زون اکسیده (قبل از نرمال سازی).....	۷۳
..... شکل ۵-۱۸-نمودار باکس پلات زون اکسیده (بعد از نرمال سازی).....	۷۳
..... شکل ۵-۱۹-نمودار باکس پلات زون سوپرژن (قبل از نرمال سازی).....	۷۴
..... شکل ۵-۲۰-نمودار باکس پلات زون سوپرژن (بعد از نرمال سازی).....	۷۴
..... شکل ۵-۲۱-نمودار باکس پلات زون هیپوژن (قبل از نرمال سازی).....	۷۵
..... شکل ۵-۲۲-نمودار باکس پلات زون سوپرژن (بعد از نرمال سازی).....	۷۵
..... شکل ۵-۲۳-نمودار تحلیل روند داده‌های مس در جهت x زون اکسیده.....	۷۷
..... شکل ۵-۲۴-نمودار تحلیل روند داده‌های مس در جهت y زون اکسیده.....	۷۸
..... شکل ۵-۲۵-نمودار تحلیل روند داده‌های مس در جهت Z زون اکسیده.....	۷۸
..... شکل ۵-۲۶-نمودار تحلیل روند داده‌های مس در جهت x زون سوپرژن.....	۷۹
..... شکل ۵-۲۷-نمودار تحلیل روند داده‌های مس در جهت y زون سوپرژن.....	۷۹
..... شکل ۵-۲۸-نمودار تحلیل روند داده‌های مس در جهت Z زون سوپرژن.....	۸۰
..... شکل ۵-۲۹-نمودار تحلیل روند داده‌های مس در جهت x زون هیپوژن.....	۸۱
..... شکل ۵-۳۰-نمودار تحلیل روند داده‌های مس در جهت y زون هیپوژن.....	۸۱
..... شکل ۵-۳۱-نمودار تحلیل روند داده‌های مس در جهت Z زون هیپوژن.....	۸۲
..... شکل ۵-۳۲-بیضوی ناهمسانگردی در فضا[۱۶].....	۸۶
..... شکل ۵-۳۳-واریوگرام در جهت اصلی برای مس در زون اکسیده.....	۸۷

..... ۸۸	شکل ۵-۳۴-۵- واریوگرام در راستای عمق (Z) زون اکسیده
..... ۹۰	شکل ۵-۳۵-۵- واریوگرام در جهت قطر کوچک بیضوی ناهمسانگردی در زون اکسیده
..... ۹۱	شکل ۵-۳۶-۵- واریوگرام در جهت قطر متوسط بیضوی انیزوتروپی زون اکسیده
..... ۹۳	شکل ۵-۳۷-۵- واریوگرام در جهت عمق (محور Z) در زون سوپرژن
..... ۹۵	شکل ۵-۳۸-۵- واریوگرام در راستای جهت اصلی برای مس در زون هیپوزن
..... ۹۶ شکل ۵-۳۹-۵- واریوگرام در راستای عمق (Z).
..... ۹۹	شکل ۵-۴۰-۵ - واریوگرام در راستای قطر کوچک بیضوی انیزوتروپی
..... ۹۹	شکل ۵-۴۱-۵ واریوگرام در راستای قطر متوسط بیضوی انیزوتروپی
..... ۱۱۰	شکل ۶-۱-۶- مراحل تخمین ذخیره به روش زمین آمار
..... ۱۱۲	شکل ۶-۲-۶- نمودار عیار متوسط کامپوزیت‌ها (بالای عیار حد) در برابر عیار حد
..... ۱۱۴	شکل ۶-۳-۶- فضای تخمین در زون اکسیده
..... ۱۱۵	شکل ۶-۴-۶- مدل بلوكی متتشکل از سلول‌ها [۱۶]
..... ۱۱۶	شکل ۶-۵-۶- مدل بلوكی کانسار به تفکیک زون
..... ۱۱۷	شکل ۶-۶-۶- وضعیت مدل بلوكی کانسار مس میدوک نسبت به سطح زمین
..... ۱۱۹ شکل ۶-۷-۶- بیضوی جستجو [۱۶]
..... ۱۲۲	شکل ۶-۸-۶- تفکیک مناطق عیاری مدل بلوكی در زون اکسیده
..... ۱۲۴	شکل ۶-۹-۶- منحنی تغییرات عیار متوسط بلوك‌های کانسنگ نسبت به ارتفاع (پله‌ها) زون اکسیده
..... ۱۲۵	شکل ۶-۱۰-۶- هیستوگرام عیار بلوك‌های کانسنگ مس در زون اکسیده
..... ۱۲۷	جدول ۶-۴- کلاسه بندی عیاری زون سوپرژن
..... ۱۲۸ شکل ۶-۱۱-۶- تفکیک مناطق عیاری مدل بلوكی در زون سوپرژن
..... ۱۲۸	جدول ۶-۵- کلاسه‌های عیاری در زون سوپرژن به تفکیک رنگ
..... ۱۳۰ شکل ۶-۱۲-۶- منحنی تغییرات عیار متوسط بلوك‌های کانسنگ نسبت به ارتفاع (پله‌ها) زون سوپرژن
..... ۱۳۱ شکل ۶-۱۳-۶- هیستوگرام عیار بلوك‌های کانسنگ مس در زون سوپرژن
..... ۱۳۴ شکل ۶-۱۴-۶- تفکیک مناطق عیاری مدل بلوكی در زون هیپوزن

شکل ۱۵-۶ - منحنی تغییرات عیار متوسط بلوک‌های کانسنگ نسبت به ارتفاع (پله‌ها) زون هیپوژن..... ۱۳۶

شکل ۱۶-۶ - هیستوگرام عیار بلوک‌های کانسنگ مس در زون هیپوژن ۱۳۷

فهرست جداول

عنوان	صفحه
جدول ۱-۲: آنالیز شیمیایی بر روی نمونه‌های سوپرژن و هایپوژن [۱]	۱۹
Error! Bookmark not defined.	جدول ۴-۱- پارامترهای زون هایپوژن
جدول ۴-۲- پارامترهای زون سوپرژن	۵۴
جدول ۴-۳- پارامترهای زون اکسیده	۵۴
جدول ۴-۴- پارامترهای آماری مس در زون اکسیده	۶۰
جدول ۴-۵- پارامترهای آماری مس در زون سوپرژن	۶۱
جدول ۴-۶- پارامترهای آماری مس در زون هایپوژن	۶۱
جدول ۴-۷- پارامترهای آماری مس در زون اکسیده	۶۳
جدول ۴-۸- پارامترهای آماری داده‌های لاغ نرمال مس زون سوپرژن	۶۴
جدول ۴-۹- پارامترهای آماری داده‌های لاغ نرمال مس زون سوپرژن	۶۵
جدول ۴-۱۰- پارامترهای واریوگرام رسم شده در جهت اصلی زون اکسیده	۶۹
جدول ۴-۱۱- پارامترهای واریوگرام در جهت عمق زون اکسیده	۷۰
Error! Bookmark not defined.	جدول ۴-۱۲- نتایج اعتبار سنجی متقابل از واریوگرام رسم شده در جهت اصلی زون اکسیده
جدول ۴-۱۳- پارامترهای واریوگرامها در آزمیوت‌های مختلف زون اکسیده	۸۷
جدول(۴-۱۴) پارامترهای واریوگرام‌های بیضوی انیزوتربوپی	۸۸
جدول ۴-۱۵- پارامترهای واریوگرام در جهات مختلف زون سوپرژن	۸۹
جدول ۴-۱۶- پارامترهای واریوگرام در جهت عمق	۹۰

جداول ۱۷-۵ نتایج اعتبار سنجی متقابل واریوگرام.....	۹۴
جدول ۱۸-۵ - پارامترهای واکنشی در جهت اصلی.....	۹۶
جدول ۱۹-۵ - پارامترهای واکنشی واریوگرام.....	۹۶
جدول ۲۰-۵ نتایج اعتبار سنجی واکنشی واریوگرام.....	۹۷
جدول ۲۱-۵ - پارامترهای واکنشیها در آزمون سوپرژن.....	۹۸
جدول ۲۲-۵ - پارامترهای واکنشیها بخصوص انیزوتربوپی.....	۱۰۰
جدول ۲-۱ - کلاسه بندی عیاری زون اکسیده.....	۱۲۱
جدول ۲-۶ - محدوده های رنگی در زون اکسیده.....	۱۲۲
جدول ۳-۶ - پارامترهای آماری هیستوگرام کانسنس مس زون اکسیده.....	۱۲۵
جدول ۶-۴ - کلاسه بندی عیاری زون سوپرژن.....	۱۲۷
جدول ۶-۵ - کلاسه های عیاری در زون سوپرژن به تفکیک رنگ.....	۱۲۸
جدول ۶-۶ - پارامترهای آماری هیستوگرام کانسنس مس زون سوپرژن.....	۱۳۱
جدول ۶-۷ - کلاسه بندی عیاری زون هیپوژن.....	۱۳۳
جدول ۶-۸ - محدوده های عیاری به تفکیک رنگ در زون هیپوژن.....	۱۳۴
جدول ۶-۹ - پارامترهای آماری هیستوگرام بلوك های کانسنس مس زون هیپوژن.....	۱۳۷

فصل اول

کلیات

۱-۱- هدف و ضرورت انجام پژوهش

صنعت معدنکاری نقش بسیار مهمی در اقتصاد یک کشور دارد. وجود معدن در یک منطقه، عامل مهمی در اشتغالزایی نیروی انسانی و صنایع پایین دستی آن دارد. سرمایه گذاری در پروژه‌هایمعدنی نیازمند اثبات وجود یک ذخیره‌ی اقتصادی قابل استخراج می‌باشد. مهمترین عوامل موثر در اقتصادی بودن یک کانسار شامل موارد مختلفی از جمله، عیار، تغییر پذیری عیار، میزان ذخیره کانسنگ و باطله و تکنولوژی فرآوری می‌باشد.

محاسبه‌ی ذخیره قابل استخراج نیز یکی از مهمترین عوامل اقتصادی بودن یک کانسار است. طراحی بهینه‌ی استخراج مستلزم داشتن اطلاعات زیاد از خصوصیات ذخیره است. از جمله مهمترین خصوصیات، توزیع فضایی کانسنگ پر عیار و کم عیار و باطله، تغییر پذیری ضخامت کانسنگ و روباره و همبستگی بین عیار فلز اصلی و محصولات فرعی می‌باشد.

بدلیل اثرات نامطلوب خطای تخمین در افزایش رسیک سرمایه گذاری در بخش معدن لازم است دقیق ترین روش تخمین ذخیره استفاده شود تا خطای تخمین را به حداقل برساند و توزیع خطای را در کانسار مشخص کند.

یکی از روش‌های توانا در تخمین ذخیره، روش زمین آمار است که تقریباً تمامی شرایط ذکر شده فوق را دارد. زمین آمار می‌تواند علاوه بر مقدار کمیت یک نمونه، موقعیت فضایی آن را در نظر بگیرد. بدین لحاظ می‌توان موقعیت فضایی نمونه‌ها را همراه با کمیت آنها همزمان تحلیل کرد. هدف این تحقیق، تخمین ذخیره کانسار مس میدوک به روش زمین آمار می‌باشد. بدینهی است قبل از انجام عملیات تخمین مدل زمین شناسی کانسار همراه با ساختارهای فضایی آن مشخص شوند.

یکی از اطلاعات اولیه‌ای که بتوان بر مبنای آن اطلاعات مفیدی را از یک کانسار بدست آورد، گمانه‌های اکتشافی می‌باشند. با جمع آوری داده‌های حفاری اکتشافی می‌توان مدل زمین شناسی کانسار را قبل از عملیات تخمین بدست آورد. در انجام این پروژه، از اطلاعات حفاری گمانه‌ها(۵۹ عدد)، نقشه برداری سطحی و زمین شناسی استفاده شده است که توسط معدن مس میدوک در اختیار گذاشته شده است.

۱-۲- مراحل انجام پژوهش

جهت انجام عملیات تخمین به روش زمین آمار، اطلاعات مختلفی لازم است. شروع مطالعات تخمین با تلفیق کردن اطلاعات گمانه‌ها تحت عنوان بانک اطلاعاتی شروع می‌شود. با استفاده از گمانه‌ها شکل سه بعدی کانسار با ایجاد مقاطع متعدد قائم (شرقی - غربی) و افقی شبیه سازی شد.

ارزیابی کیفیت داده‌ها با مطالعات آماری صورت می‌گیرد که بوسیله‌ی آن می‌توان، تفکیک مناطق هموزن آماری، کامپوزیت سازی، توزیع فراوانی عیار، شکل تابع توزیع و ... را انجام داد. پس از انجام مطالعات آماری ساختار فضایی کانسار، توسط واریوگرام‌ها بدست آمد و مدل‌های واریوگرام اعتبار سنجی شد. کلیه مطالعات آماری در فصل چهارم جمع بندی شده است.

با مشخص کردن و محدود کردن فضای تخمین مدل بلوکی کانسار ساخته شد و عملیات تخمین به روش کریجینگ در مدل بلوکی کانسار صورت گرفت. و در نهایت با گزارش گیری از مدل بلوکی میران ذخیره همراه با ترسیم منحنی‌های تناظر- عیار و هیستوگرام‌ها مشخص گردید. اطلاعات مربوط به معدن مس میدوک در فصل دوم جمع آوری شده است. در فصل سوم مقدمه‌ای بر زمین آمار ذکر شده است. مدل سازی زمین شناسی کانسار مس میدوک در فصل چهارم انجام شده است. در فصل پنجم مطالعات آماری و زمین آماری جهت عملیات تخمین صورت گرفته است و در نهایت عملیات تخمین ذخیره در فصل ششم بیان شده است. لازم به ذکر است در روند اجرای این پروژه از نرم افزارهای آماری و زمین آماری استفاده گردید.

- | | |
|--|---|
| عملیات آماری در نرم افزار MINITAB انجام شد. | ✓ |
| عملیات واریوگرافی در نرم افزار SURPAC انجام شد. | ✓ |
| مدل سازی زمین شناسی و عملیات تخمین در نرم افزار DATAMINE انجام شد. | ✓ |

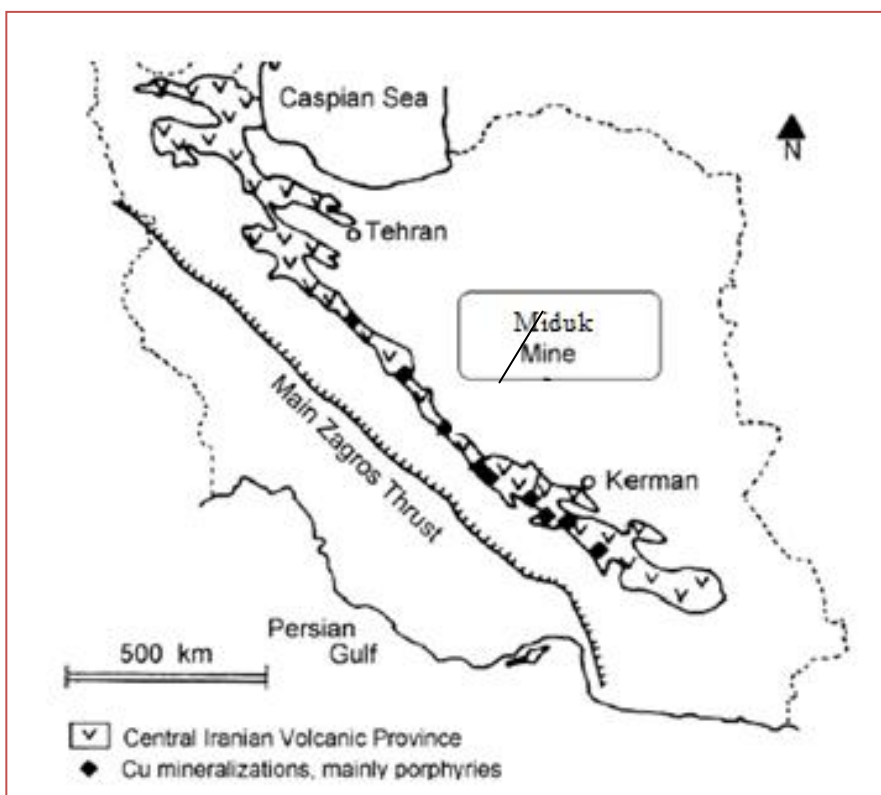
فصل دوم

آشنایی با معدن مس میدوک

۱-۲- مقدمه

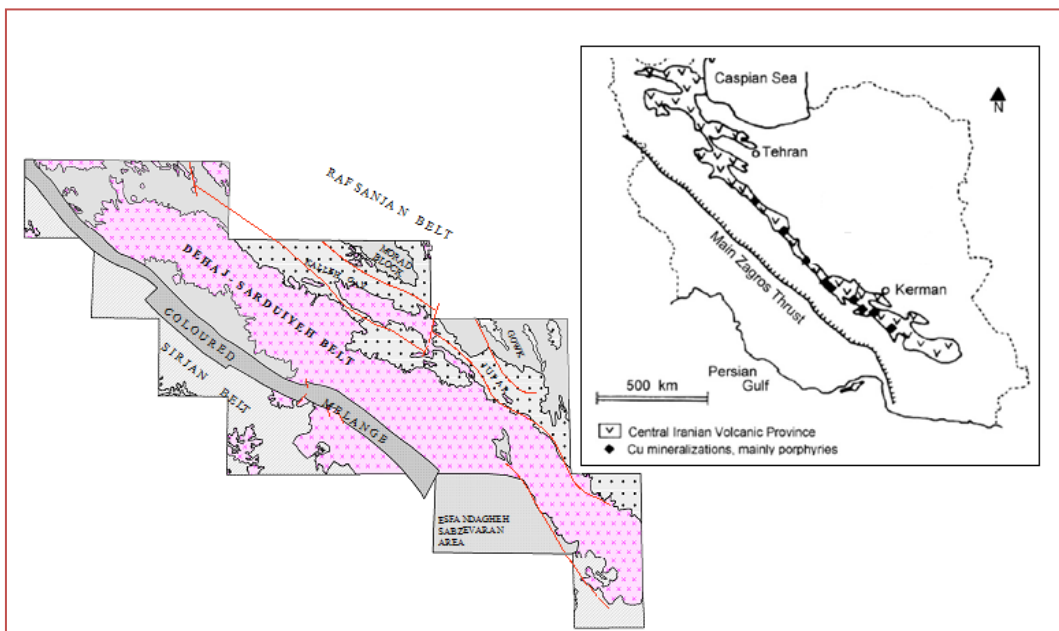
مس یکی از مفیدترین و پرمصرف‌ترین عناصر فلزی است و گفته می‌شود که مس اولین فلزی است که توسط بشر کشف شده و جزء محدود فلزاتی است که به صورت آزاد در طبیعت یافت می‌شود. منابع شناخته شده جهان به ۵۰۰ میلیون تن فلز مس و ذخیره احتمالی آن ۲۴۰۰ میلیون تن فلز محتوی برآورد می‌گردد [۱].

جدیدترین تعریفی که برای کانسارهای مس پورفیری شده است این است که کانسارهای پورفیری یک کانسار بزرگ با عیار متوسط تا کم هستند. ایران از لحاظ ذخایر معدنی بر روی کمربند مس قرار گرفته است که این کمربند از جنوب‌شرق شروع شده و تا شمال‌غربی و نواحی آذربایجان ادامه دارد که به کمربند ارومیه- دختر معروف است [۱]. شکل ۱-۲ موقعیت تعدادی از کانسارهای مس واقع در امتداد این کمربند را نشان می‌دهد.



شکل ۱-۲: موقعیت تعدادی از کانسارهای مس واقع در امتداد کمربند ارومیه - دختر [۲]

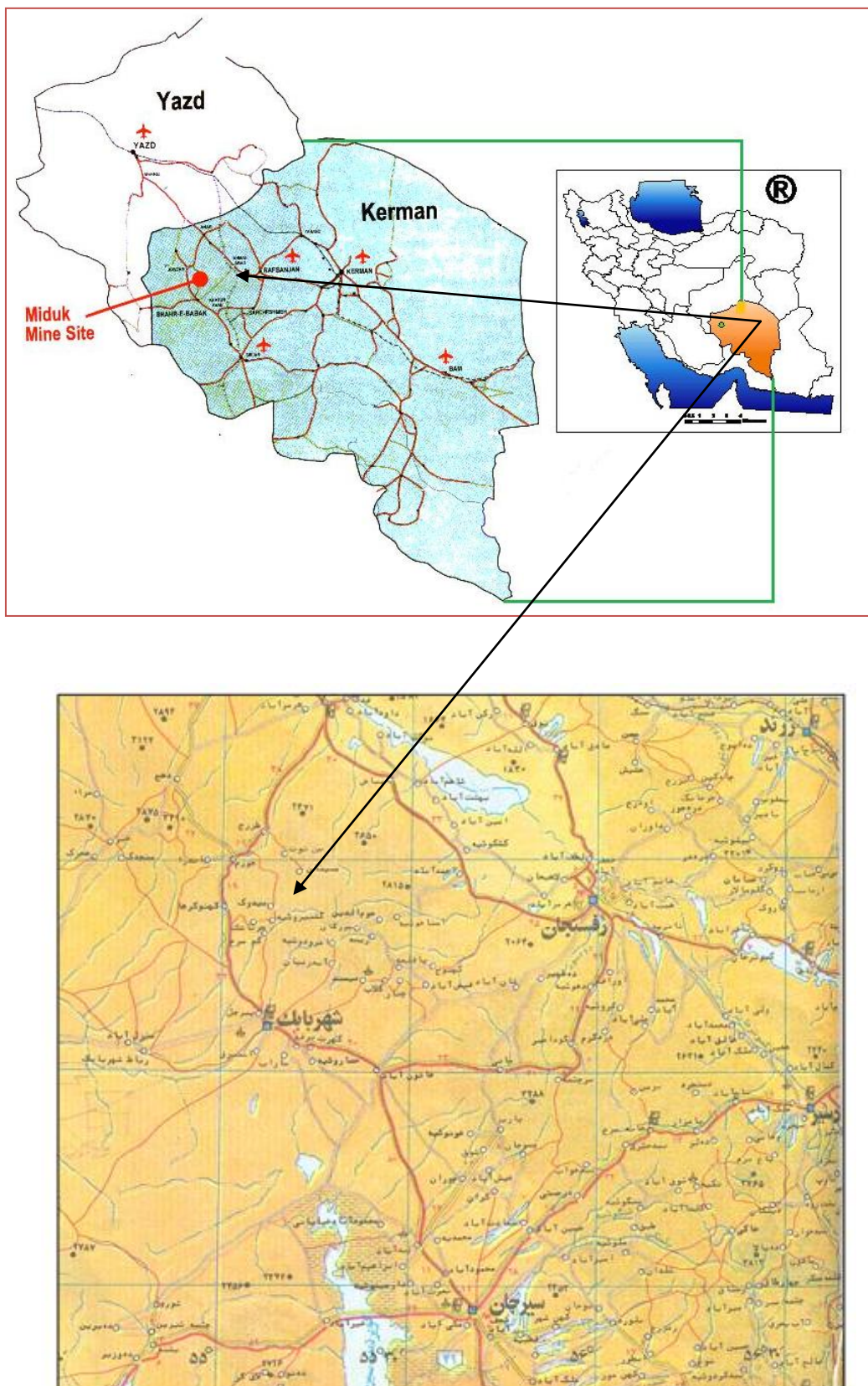
ناحیه مس دار کرمان قسمتی از کمربند فلززایی ایران محسوب می شود. کانسارهایی که در این کمربند فلززایی قرار دارند در طول یک نوار 50×300 کیلومتر در ناحیه کرمان شناخته شده- اند و روند عمومی آنها شمال غرب- جنوب شرق می باشد. از مهم ترین توده های این ناحیه می توان توده های مس سرچشم مه و میدوک را نام برد که در این میان کانسار مس سرچشم مه را می توان یکی از بزرگ ترین کانسارهای جهان به حساب آورد [۸]. شکل ۲-۲ موقعیت کمربند فلززایی- متالوژنی کرمان به همراه نقشه زمین شناسی زون ارومیه- دختر را نشان می دهد [۱].



شکل ۲-۲: موقعیت کمربند فلززایی - متالوژنی کرمان در زون ارومیه دختر به همراه منطقه- بندی ساختار این زون [۱]

۲-۲- موقعیت جغرافیایی کانسار مس میدوک

معدن مس میدوک در فاصله ۴۲ کیلومتری شمال شرق شهریابک و ۱۳۲ کیلومتری شمال غرب معدن مس سرچشمہ قرار گرفته است. فاصله مستقیم آن تا شهریابک ۲۷ کیلومتر و تا سرچشمہ ۸۰ کیلومتر است. بلندترین نقطه ارتفاعی این منطقه در تراز ۲۸۴۲ متری از سطح دریا و طول و عرض جغرافیایی آن به ترتیب 10° و 55° و 25° و 30° است. سیمای ظاهری این منطقه در اغلب نقاط شامل تپه ماهورهای نسبتاً "مدوری" است که با شیب ملایم به دره‌های کم‌عمق منتهی می‌گردد. محدوده مس میدوک دو توده نفوذی کم‌عمق مس پورفیری را دربرمی‌گیرد که هر یک از این دو توده نام محلی خاص خود را دارند. یکی از آن‌ها میدوک(لاچاه) و دیگری سارا می‌باشد. حداکثر دمای این منطقه ۳۵ و حداقل آن به ۱۵ درجه سانتیگراد زیر صفر می‌رسد. کارگاه اصلی در محل معدن میدوک است که در ۷ کیلومتری شمال‌غرب روستای میدوک واقع شده است[۱]. شکل ۳-۲ موقعیت جغرافیایی کانسار مس میدوک و نقشه راههای دسترسی به معدن مس میدوک را نشان می‌دهد.



شکل ۲-۳: موقعیت جغرافیایی و نقشه راههای دسترسی به معدن مس میدوک [۳]